

(19)



Europäisches Patentamt  
European Patent Office  
Office européen des brevets



(11) Veröffentlichungsnummer: **0 559 071 A2**

(12)

## EUROPÄISCHE PATENTANMELDUNG

(21) Anmeldenummer: **93102913.6**

(51) Int. Cl.<sup>5</sup>: **B01D 53/36, B01J 35/00**

(22) Anmeldetag: **25.02.93**

(30) Priorität: **03.03.92 DE 4206599**

(43) Veröffentlichungstag der Anmeldung:  
**08.09.93 Patentblatt 93/36**

(84) Benannte Vertragsstaaten:  
**AT BE CH DE ES FR GB IT LI NL SE**

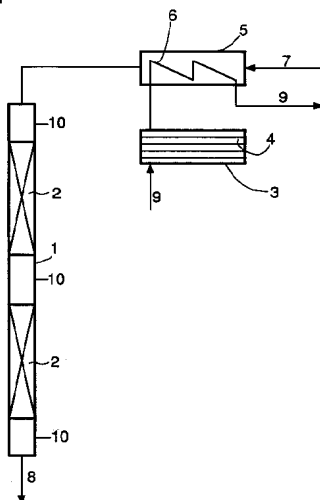
(71) Anmelder: **BASF Aktiengesellschaft**  
**Carl-Bosch-Strasse 38**  
**D-67063 Ludwigshafen(DE)**

(72) Erfinder: **Hess, Klaus, Dr.**  
**Sonnenwendstrasse 40**  
**W-6702 Bad Duerkheim(DE)**  
Erfinder: **Ruppel, Wilhelm, Dr.**  
**Am Pfalzprung 21**  
**W-6552 Bad Muenster(DE)**  
Erfinder: **Morsbach, Bernd**  
**Utestrasse 22**  
**W-6700 Ludwigshafen(DE)**  
Erfinder: **Regenauer, Willi**  
**Pappelstrasse 6**  
**W-6701 Otterstadt(DE)**

(54) **Metalle und/oder Oxide enthaltende Katalysatorelemente und Verfahren zum oxidativen Abbau von cyclischen organischen Verbindungen.**

(57) Die Erfindung betrifft Metalle und/oder Oxide enthaltende Katalysatorelemente mit kanalförmigen Durchgangsöffnungen und Verfahren zum oxidativen Abbau von cyclischen organischen Verbindungen, insbesondere Dioxinen, aus Abgasen von Verbrennungsanlagen unter Verwendung der Katalysatorelemente.

FIG.1



EP 0 559 071 A2

Die vorliegende Erfindung betrifft Metalle und/oder Oxide enthaltende Katalysatorelemente mit kanalförmigen Durchgangsöffnungen und Verfahren zum oxidativen Abbau von cyclischen organischen Verbindungen aus Abgasen von Verbrennungsanlagen unter Verwendung der Katalysatorelemente.

Verbrennungsabgase enthalten oft noch unverbrannte organische Verbindungen, die aus Gründen der Reduzierung der Umweltbelastung aus den Abgasen entfernt werden müssen.

Als besonders problematisch organische Verbindungen sind cyclische organische, halogenierte Verbindungen und insbesondere die polychlorierten Dibenzodioxine und Dibenzofurane (nachfolgend zusammenfassend "Dioxine" genannt) bekannt.

Zwar gibt es Möglichkeiten, die Bildung dieser Produkte unvollständiger Verbrennung durch Primärmaßnahmen zu reduzieren, wobei insbesondere die Verbrennungsbedingungen modifiziert werden (s. z.B. "Chemische Industrie" 7/90, S. 21 bis 25) oder auch die Bildung der Dioxine durch Zugabe von Triethanolamin und Triethylamin zum Rauchgas inhibiert werden kann (s. UWSF-Z. Umweltchem. Ökotox, 1989, 4, S. 3 bis 6).

Durch diese Maßnahmen werden jedoch die maximal zulässigen Werte an Dioxinen in der Abluft (0,1 ng TE/m<sup>3</sup>; s. BImSchV: "Entwurf einer 17. Verordnung zur Durchführung des Bundes-Immissionsschutzgesetzes", Mai 1990) nicht sicher unterschritten.

Es ist daher erforderlich, den Dioxingehalt durch einen oxidativen Abbau an entsprechenden Katalysatoren weiter zu verringern.

Dazu ist es aus der EP 252 521 A1, der EP 387 417 A1 und der DE 39 33 480 A1 bekannt, Metalle oder Oxide enthaltende Katalysatoren einzusetzen.

Bisher wurde bei der Entwicklung derartiger Katalysatoren der Schwerpunkt vor allem auf die Abhängigkeit der Abbauraten von der chemischen Zusammensetzung gelegt, d.h. die Aktivität des Katalysators stand neben verfahrenstechnischen Aspekten wie Temperatur und Raumgeschwindigkeit des Abgases im Vordergrund (s. VGB-Fachtagung "Thermische Abfallverwertung 1990", Essen 28.09.90; Referat "Katalytische Oxidation: Eine Technik zur Verminderung der PLDD/PCDF-Emission aus Müllverbrennungsanlagen auf kleiner 0,1 ng TE/m<sup>3</sup>", H. Fahlenkamp, G. Mittelbach, H. Hagenmaier et al.). In diesem Zusammenhang wurde zwar auch auf die Katalysatoroberfläche pro Volumen hingewiesen, die Strukturierung der Katalysatoren an gleicher Stelle (s. DE 39 33 480 A1, S. 3) aber als nicht kritisch bezeichnet.

Der exakten Bestimmung der räumlichen Ausgestaltung von Katalysatorelementen kommt aber, jedenfalls wenn die erwähnten Mindestwerte erreicht werden sollen, eine zunehmende Bedeutung zu.

Es war daher die Aufgabe der vorliegenden Erfindung, Katalysatorelemente für ein Verfahren zum oxidativen Abbau von cyclischen organischen Verbindungen aus Abgasen von Verbrennungsanlagen zur Verfügung zu stellen, die bezüglich der Katalysatorabmessungen optimiert sind, so daß die Werte an cyclischen organischen Verbindungen, insbesondere Dioxinen, in den Abgasen von Verbrennungsanlagen möglichst minimiert werden.

Diese Aufgabe wird durch Katalysatorelemente mit kanalförmigen Durchgangsöffnungen gelöst, die dadurch gekennzeichnet sind, daß die Katalysatorgeometrie der folgenden Gleichung (1) gehorcht:

$$\frac{x}{d^2} = \frac{1}{A} \cdot \frac{\bar{u}}{4 D_T} \cdot \ln \frac{C_o}{C_x} \quad (1)$$

worin bedeuten

- x = Länge des Katalysatorelements
- d = hydraulischer Durchmesser der Durchgangsöffnung bzw. doppelter Plattenabstand
- $\bar{u}$  = mittlere Gasgeschwindigkeit
- $D_T$  = temperaturabhängiger Diffusionskoeffizient des Schadstoffes im Abgas
- $C_o$  = Eingangskonzentration des Schadstoffes
- $C_x$  = Konzentration des Schadstoffes nach der Länge x

und der Parameter A in Abhängigkeit von der Form der kanalförmigen Durchgangsöffnung folgende Werte aufweist:

| Form                        | A       |
|-----------------------------|---------|
| n-Eck (n = 3 bis $\infty$ ) | 1,2-4,4 |
| Platten                     | < 8,3   |

5

Der Erfindung liegt die überraschende Erkenntnis zugrunde, daß die Geschwindigkeit des oxidativen Abbaus von cyclischen organischen Verbindungen, insbesondere von Dioxinen, an Katalysatorelementen diffusionsbestimmt ist und die Reaktionsgeschwindigkeit des chemischen Abbaus der Verbindungen an der Oberfläche der Katalysatorelemente demgegenüber nicht ins Gewicht fällt.

10

Somit ist die Bestimmung der Katalysatorgeometrie aufgrund der oben angegebenen Gleichung ohne weiteres möglich, was für die Auslegung von Katalysatorelementen von besonderer Bedeutung ist.

Der Maximalwert für A orientiert sich an den für die ausgebildete laminare Strömung geltenden "Sherwood-Zahlen"  $Sh_\alpha$ , die für die jeweiligen Kanalgeometrien in folgender Tabelle aufgeführt sind:

15

| Kanalgeometrie | $Sh_\alpha$ |
|----------------|-------------|
| 3-Eck          | 2,05        |
| 4-Eck          | 2,98        |
| 6-Eck          | 3,35        |
| Kreis          | 3,65        |
| Platte         | 7,54        |

20

Die in der Gleichung stehenden Bestimmungsgrößen sind für ein vorgegebenes Verfahren bekannt ( $C_x$ ,  $C_o$ ,  $\bar{u}$ ) oder sind Stoffkonstanten ( $D_T$ ). Der hydraulische Durchmesser des n-Ecks ( $d = 4F/U$ , F = Fläche und U = Umfang der Durchgangsöffnung) bzw. der Plattenabstand im Fall des Plattenkatalysators und die Länge des Katalysatorelements können daher in Abhängigkeit des Parameters A berechnet werden. Die empirisch ermittelten Bereichsgrenzen für A sind im angegebenen Umfang im wesentlichen bestimmt durch die Analysengenauigkeit bei der Messung der einzelnen Werte.

30

Der Parameter A weist dabei in Abhängigkeit von der Form der kanalförmigen Durchgangsöffnung folgende Werte auf:

| Form    | A       |
|---------|---------|
| 3-Eck   | 1,2-2,8 |
| 4-Eck   | 2,2-3,8 |
| 6-Eck   | 2,5-4,2 |
| Kreis   | 2,8-4,4 |
| Platten | < 8,3   |

35

40

Die Desaktivierung der Katalysatoren und/oder die Anwesenheit von Staub im Abgas können noch zu einer weiteren Verringerung der Werte für A führen.

Wenn es sich um im wesentlichen staubfreie Abgase (Staubbelastung: 0-30 mg/Nm<sup>3</sup>) handelt, d.h. z.B. Abgase nach E-Filter oder Rauchgasreinigung, ergeben sich für A folgende Mindestwerte: 3-Eck: 1,5; 4-Eck: 2,4; 6-Eck: 2,8; Kreis: 3,0; Platten: 4,0.

45

Gegenstand der Erfindung ist auch ein Verfahren zum oxidativen Abbau von cyclischen organischen Verbindungen in Abgasen von Verbrennungsanlagen im Temperaturbereich von 100 °C-500 °C unter Verwendung eines Katalysators, das dadurch gekennzeichnet ist, daß Umsatz U, Verweilzeit  $\tau$  und die Geometrie des eingesetzten Katalysators der folgenden Gleichung (2) gehorchen

50

$$\frac{-\ln(1-U)}{\tau} = 4 D_T \cdot \frac{A}{d^2} \quad (2)$$

55

worin bedeuten

U = Umsatz an Schadstoffen

$$\left( = 1 - \frac{C_x}{C_o} \right)$$

5  $\tau =$  Verweilzeit ( $= x/\bar{u}$  mit  $\bar{u}$  = mittlere Gasgeschwindigkeit)  
und  $D_T$ ,  $d$  sowie  $A$  in Abhängigkeit von der Form der kanalförmigen Durchgangsöffnung wie oben definiert sind.

Diese Gleichung (2) ist aus der oben zum Katalysator angegebenen Gleichung (1) entwickelt.

Mit der vorliegenden Erfindung ist es zum ersten Male möglich, präzise Angaben zur erforderlichen  
10 Katalysatorgeometrie zu machen.

Als cyclische organische Verbindungen sind sowohl aromatische als auch aliphatische cyclische Verbindungen zu nennen, auch heterocyclische oder substituierte cyclische Verbindungen werden abgebaut. Insbesondere werden mit den erfindungsgemäßen Katalysator bzw. Verfahren halogenierte Verbindungen, die auch mehrkernig sein können, z.B. polychlorierte Biphenyle, aber auch z.B. Phenole abgebaut.  
15 Besonders gut geeignet ist der erfindungsgemäße Katalysator bzw. das erfindungsgemäße Verfahren für den Abbau der bereits oben genannten Dioxine.

Zu den oben angegebenen Bestimmungsgrößen ist im einzelnen folgendes festzustellen:

$C_x$  und  $C_o$  werden in Nanogramm pro Normkubikmeter (ng/Ncbm) angegeben, wobei die Bestimmung der Dioxinkonzentrationen auf üblicher Weise erfolgt. Der temperaturabhängige Diffusionskoeffizient  $D_T$  wird auf  
20 bekannte Weise ermittelt (vgl. z.B. VDI-Wärmeatlas, 4. Auflage, 1988, Da 32/Da 33) und beträgt zum Beispiel bei 303 °C für Tetrachlordibenzodioxin 0,175 cm<sup>2</sup>/s, für Hexachlordibenzodioxine 0,163 cm<sup>2</sup>/s, für Octachlordibenzodioxine 0,153 cm<sup>2</sup>/s und für Hexachlordibenzofurane 0,165 cm<sup>2</sup>/s.

Da im Abgas meist ein Gemisch verschiedener Dioxine vorliegt, empfiehlt es sich, den kleinsten Diffusionskoeffizienten der Berechnung zugrunde zulegen, um den Abbau der entsprechenden Dioxine  
25 jedenfalls zu gewährleisten.

Die mittlere Gasgeschwindigkeit  $\bar{u}$  ergibt sich aus dem Quotienten  $V_R/AF$ , wobei  $V_R$  = Raumgeschwindigkeit des Abgases in m<sup>3</sup>/h und  $AF$  = angeströmte Fläche bedeuten. Die angeströmte Fläche wiederum errechnet sich aus der Gesamtquerschnittsfläche des Katalysatorelements (die z.B. durch die Herstellung oder den Reaktor vorgegeben ist) geteilt durch das Öffnungsverhältnis  $\epsilon$ , das z.B. 0,6 beträgt, wenn 60 %  
30 der Fläche aus Öffnungen bestehen. Das Öffnungsverhältnis  $\epsilon$  wird somit bestimmt durch das Verhältnis von freiem Querschnitt zu gesamten Querschnitt.

Die mittlere Gasgeschwindigkeit  $\bar{u}$  bei dem erfindungsgemäßen Verfahren liegt im allgemeinen im Bereich von 5-10 m/s.

Die Größe  $d$  bezeichnet den hydraulischen Durchmesser, wenn es sich beim Querschnitt der kanalförmigen Durchgangsöffnungen um reguläre n-Ecke und Kreise handelt. So ist der hydraulische Durchmesser für quadratförmige Durchgangsöffnungen z.B.  $d = 4 \cdot a^2/4a = a$  ( $a$  = Kantenlänge). Wenn es sich um einen Plattenkatalysator handelt, bezeichnet  $d$  den doppelten Plattenabstand.

Die Katalysatorelemente mit kanalförmigen Durchgangsöffnungen können jeder beliebige Geometrie aufweisen, vorausgesetzt, das Katalysatorelement gehorcht den oben angegebenen Bedingungen. So sind  
40 die an sich bekannten wabenförmigen Katalysatoren, aber auch Plattenkatalysatoren möglich. Die Wabenkanäle können die Form der angegebenen Vielecke aufweisen, aber auch runde oder abgerundete Kanalförmungen sind möglich.

Die beiden angegebenen Gleichungen (1) und (2) leiten sich von der für den Wärmeübergang bei laminarer Strömung im Rohr entwickelten, lange bekannten Formel

$$C = C_o \exp \left( -Sh \cdot \frac{4 D_x}{\bar{u} d^2} \right)$$

(Graetz, Ann. Phys., 18 (1883) 79/94, 25 (1885) 337/357; Nusselt, Z.VDI 54 (1910) 1154/1158) ab.

Die Zahl der Durchgangsöffnung entspricht dem Quadrat der Zellenzahl  $z$  und kann je nach Staubgehalt des Abgases variiert werden, wobei z.B. für quadratische Durchgangsöffnungen folgenden Abhängigkeit gilt:

$$55 \quad a = \frac{b}{2} \sqrt{\epsilon} \quad (3)$$

worin bedeuten

$a$  = Zellöffnung (d.h. Kantenlänge der Durchgangsöffnung)

b = Kantenlänge des Katalysatorelements  
 z = Zellenzahl (Zahl der Durchgangsöffnungen entlang einer Kantenlänge des Katalysatorelements)  
 $\epsilon$  = Öffnungsverhältnis,

wobei für ein weitgehend staubfreies Abgas  $40 \leq z \leq 50$  für ein geringfügig mit Staub beladenes Abgas  $39 \leq z \leq 25$  und für ein stark mit Staub beladenes Abgas:  $24 \leq z \leq 20$  gilt.

Als weitgehend staubfreies Abgas kann ein Abgas bezeichnet werden, daß 0-30 mg Staubteilchen pro Normkubikmeter ( $\text{mg}/\text{Nm}^3$ ) aufweist, für das geringfügig belastete Abgas kann als Orientierungswert 30-500  $\text{mg}/\text{Nm}^3$  angegeben werden und Abgase mit Staubbelastungen über 500  $\text{mg}/\text{Nm}^3$  sind als stark belastete Abgase anzusehen.

Im Katalysatorelement ist ein möglichst geringer Druckverlust anzustreben. Für diesen Druckverlust läßt sich folgende Gleichung (4) angeben

$$\Delta p = \phi \cdot 32 \cdot \eta \cdot \bar{u} \cdot \frac{x}{d^2} \quad (4)$$

worin  $\eta$  = dynamische Zähigkeit des Abgases und  $\bar{u}$ ,  $x$  sowie  $d$  wie oben definiert sind und für den Parameter  $\phi$  gilt:  $0,89 \leq \phi \leq 1,5$  (vgl. VDI-Wärmeatlas, 4. Auflage 1983, 267).

Für das erfindungsgemäße Verfahren gilt allgemein, daß die Adsorption der cyclischen organischen Verbindungen am Katalysatorelement, unabhängig von der Zusammensetzung der Aktivmasse, stets so schnell ist, daß im wesentlichen nur der diffuse Stofftransport in der laminaren Kanalströmung maßgebend für die Geschwindigkeit des oxidativen Abbaus der Schadstoffe am Katalysatorelement ist. Die Effektivität der Katalysatorelemente wird somit wesentlich durch die Formgebung bestimmt, wobei kanalförmige Durchgangsöffnungen in Form von regulären 6-Ecken besonders günstig sind.

Aufgrund dieser Erkenntnis ist es möglich, für den erfindungsgemäßen Katalysator und das erfindungsgemäße Verfahren die Gleichungen (1) bis (4) aufzustellen, die keinerlei Information über die adsorbiven und kinetischen Eigenschaften der Katalysatormasse enthalten.

Damit besteht für das erfindungsgemäße Verfahren ein prinzipieller Unterschied etwa zur katalytischen Reduktion von Stickoxiden mit  $\text{NH}_3$  an derartigen Katalysatoren (SCR-Reaktion), da bei dieser Reduktion sowohl der diffusive Stofftransport als auch die Thermodynamik der  $\text{NH}_3$ -Adsorption und die Kinetik der SCR-Reaktion an der Katalysatormasse beachtet werden müssen.

Als Katalysatormaterial sind die bekannten Materialien für Oxidationskatalysatoren, die Metalle und/oder Oxide enthalten, einsetzbar. Da wie dargelegt, gefunden wurde, daß der Abbau von mehrkernigen cyclischen organischen Verbindungen in erster Linie von der Diffusion in den Katalysatorkanälen und nicht von der Aktivität des Katalysators abhängt, ist die Auswahl des Katalysatormaterials nicht kritisch.

Es können z.B. Materialien auf der Basis von  $\text{TiO}_2$ ,  $\text{SiO}_2$  oder Eisenoxiden eingesetzt werden, die als zusätzliche Komponenten Cr-, W-, Mo- oder V-Oxide enthalten können. Derartige Katalysatoren sind im Stand der Technik mehrfach beschrieben, siehe z.B. EP 252 521, EP 387 417 oder DE 38 04 722 A1, worauf ausdrücklich Bezug genommen wird.

Bevorzugt sind Katalysatorelemente, deren oxidische Bestandteile nur 0,01-1,0 Gew.-% oder bevorzugt kein Vanadiumoxid enthalten und im übrigen aus 50-90 Gew.-%  $\text{TiO}_2$ , 2-15 Gew.-%  $\text{WO}_3$  und/oder  $\text{MoO}_3$  und 1-40 Gew.-% Füllstoffen, wie z.B. Kieselsäuren, Aluminiumoxid, Zeolithen, Bentoniten, Alumosilikaten (Tone, Kaolin) bestehen.

Die Katalysatormaterialien können aber auch noch Metalle oder Metallsalze enthalten, z.B. Platin oder Palladium, oder Erdalkalimetallsulfate, insbesondere  $\text{BaSO}_4$ , wozu auf die DE 35 31 871 C2 und die US 4 929 586 Bezug genommen wird.

Als geeignetes Katalysatormaterial haben sich auch die zum Abbau von  $\text{NO}_x$  in Abgasen beschriebene Katalysatorzusammensetzungen herausgestellt, die  $\text{TiO}_2$  sowie eine Mischung weiterer Metalloxide enthalten. Hierzu wird auf die DE-AS 24 58 888 ausdrücklich Bezug genommen.

Die Katalysatormassen können weiterhin die bekannten Verarbeitungshilfsmittel enthalten (s. z.B. DE 39 06 136 C1).

Dabei muß das Katalysatorelement nicht insgesamt aus den genannten Materialien bestehen. Auch nur mit Katalysatormasse beschichtete Elemente, d.h. vorgeformte Träger, z.B. aus Metall oder Keramik, deren Oberfläche zumindest teilweise mit Katalysator bedeckt ist, fallen unter die Erfindung.

Bei den Verbrennungsanlagen kann es sich um Müllverbrennungsanlagen, Kraftwerke, Rückstandsverbrennungsanlagen oder Prozeßöfen handeln.

Das erfindungsgemäße Verfahren wird im Temperaturbereich von 100 °C bis 500 °C, bevorzugt 250 °C bis 300 °C durchgeführt.

Mit den erfindungsgemäßen Katalysatoren ist es somit möglich, die Temperaturen im Reaktor, der den Katalysator enthält, bis auf 100 °C zu senken oder den Gehalt an aktiven Bestandteilen (z.B.  $V_2O_5$ ) im Katalysatormaterial entsprechend zu verringern.

Die Katalysatoren mit der erfindungsgemäßen Geometrie benötigen daher kein  $V_2O_5$  oder weisen  $V_2O_5$ -Gehalte von 0,05 bis 1,0 Gew.-% auf, was insbesondere wegen der dann geringeren  $SO_2/SO_3$ -Konversionsrate von Vorteil ist.

Weiterhin kann das erfindungsgemäße Verfahren als "Intervall-Verfahren" ausgeführt werden.

Das heißt, daß in zwei aufeinanderfolgenden Schritten bei verschiedenen Temperaturen gearbeitet wird. Im ersten Schritt werden die Schadstoffe bei tiefer Temperatur vorwiegend adsorbiert und im zweiten Schritt wird bei im Vergleich zum ersten Schritt erhöhter Temperatur der Abbau durchgeführt. Die Temperaturen in den beiden Schritten unterscheiden sich zweckmäßig um mindestens 50 °C, insbesondere beträgt die Temperatur im ersten Schritt 100 °C-250 °C und im zweiten Schritt 300 °C-550 °C. Um zu verhindern, daß beim Aufheizen Schadstoffe desorbiert werden, ohne abgebaut zu werden, ist es bevorzugt, mindestens zwei Katalysatorelemente hintereinander zu schalten, wobei die Adsorption bei tiefer Temperatur nur soweit erfolgt, daß im letzten Katalysatorelement keine oder nur eine geringe Schadstoffadsorption stattfindet und beim Aufheizen dann dieses letzte Element zuerst aufgeheizt wird.

Die Fig. 1 zeigt schematisiert eine entsprechende Versuchsanlage mit einem Reaktor (1), der den Katalysator (2) enthält. Der Teilrauchgasstrom (7) wird durch einen Rohrbündel-Wärmetauscher (5) mit Rohren (6) geführt, wobei das Rauchgas (7), das die Rohre (6) umströmt, durch heiße Luft (9), die in einem Elektrovorwärmer (3) mit Heizstäben (4) erzeugt und durch die Rohre (6) geleitet wird, aufgeheizt werden kann. Nach Abreinigung verläßt der Reingasstrom (8) die Anlage. In der Anlage befinden sich Meßstellen (10), um den Gehalt der abzubauenen cyclischen organischen Verbindungen zu ermitteln.

#### Beispiele

Die Versuche wurden in Müll- und Rückstandsverbrennungsanlagen durch Entnahme eines Dioxin beladenen Teilrauchgasstromes (7) nach E-Filter bzw. nach Rauchgaswäsche durchgeführt, wobei entsprechend Fig. 1 in der Schaltung nach Wäsche das Rauchgas auf Temperaturen zwischen der Kühlgrenztemperatur und 360 °C aufgeheizt wurde. Dies geschah indirekt, indem in einem Sekundärkreislauf mittels des mit Induktionsstäben beheizten Elektrovorwärmers (3) heiße Luft (9) durch den im Rauchgasstrom angeordneten Rohrbündelwärmetauscher (5) geschickt wurde, dessen Rohrbündel (6) vom Teilrauchgasstrom umströmt wurde. Mit dieser Art der Rauchgaswiederaufheizung wurde die "Übertemperatur" der Rohre klein gehalten, so daß die Wandtemperatur der "Heizrohre" nur um etwa 30 °C über der jeweils gewünschten Rauchgastemperatur lag.

Das so aufgewärmte, Dioxin beladene Gas strömte dann in den mit Katalysator gefüllten Reaktor (1), der aus 2 Katalysatorebenen (2) mit jeweils 1 oder 4 Katalysatorelementen von je 150 mm Kantenlänge (quadratisch) bestückt war und verließ weitgehend Dioxin-frei als Gasstrom (8) den Reaktor (1). Als weiterer wichtiger Effekt wird nach Maßgabe der möglichen  $NH_3$ -Zudosierung im Rauchgasstrom (7) zunächst befindliches  $NO_x$  praktisch quantitativ umgesetzt.

Dioxin wurde vor und hinter dem Katalysator gemessen (10).

Die Ergebnisse der Beispiele 1 bis 7 für verschiedene Katalysatortypen, Rauchgasvolumenströme, -temperaturen, Ein- und Austrittskonzentrationen, Katalysatorlängen, spezifische Oberflächen, Öffnungsverhältnisse und Öffnungsdurchmesser finden sich in Tabelle 1. Fig. 2 gibt die Auswertung der entsprechenden Gleichungen (1) und (2) wieder, wobei in einer halblogarithmischen Darstellung  $C_x/C_0$  als Ordinate und  $\delta = D \cdot x/\bar{u} \cdot d^2$  als Abszisse gewählt wurden.

Die spezifische Oberfläche des Wabenkatalysators lag zwischen 545 und 784  $m^2/m^3$ , die Geschwindigkeit in der Wabe (mittlere Gasgeschwindigkeit  $\bar{u}$ ) zwischen 2,63 und 7,98 m/s (bei Betriebstemperatur), die Temperatur zwischen 250 °C und 300 °C.

Wie aus Fig. 2 ersichtlich, ordnen sich in der entsprechend Gleichung (1) gewählten Darstellung die Meßpunkte gut auf einer Geraden mit der Steigung 4A ein, wenn  $A = 2,98$  ist. Die in Fig. 2 wiedergegebenen Meßpunkte entsprechen dabei den Beispielen 1 bis 7 aus der Tabelle.

Tabelle

| Beispiele                           | 1       | 2       | 3       | 4       | 5       | 6       | 7       |
|-------------------------------------|---------|---------|---------|---------|---------|---------|---------|
| Rauchgasvolumen-<br>strom           | 63      | 709     | 698     | 743     | 153,18  | 189     | 184,5   |
| Temperatur °C                       | 300     | 274     | 303     | 250     | 320     | 290     | 300     |
| Eintrittskonzen-<br>tration*        | 2,7     | 1,643   | 1,646   | 1,114   | 1,788   | 0,17    | 0,035   |
| Austrittskonzen-<br>tration*        | 0,17    | 0,044   | 0,059   | 0,084   | 0,053   | 0,03    | 0,005   |
| Katalysatorlänge<br>ges., X         | 1,84    | 1,84    | 1,84    | 1,84    | 1,84    | 2       | 2       |
| Katalysatorquer-<br>schnitt         | 0,02    | 0,074   | 0,074   | 0,074   | 0,018   | 0,0225  | 0,0225  |
| Spezifische<br>Oberfläche           | 545     | 784     | 784     | 784     | 784     | 545     | 545     |
| Öffnungsverhält-<br>nis             | 0,698   | 0,698   | 0,698   | 0,698   | 0,698   | 0,698   | 0,698   |
| Öffnung<br>(hydraul.<br>Durchm., d) | 0,00498 | 0,00357 | 0,00357 | 0,00357 | 0,00357 | 0,00498 | 0,00498 |

## Abgeleitete Größen

|                                |     |        |        |        |        |        |        |        |
|--------------------------------|-----|--------|--------|--------|--------|--------|--------|--------|
| Raumgeschwindigkeit SV         | 1/h | 1712   | 5207   | 5126   | 5457   | 4625   | 4200   | 4100   |
| Flächengeschwindigkeit AV      | m/h | 3,14   | 6,64   | 6,54   | 6,96   | 5,90   | 7,71   | 7,52   |
| 1/AV                           |     | 0,318  | 0,151  | 0,153  | 0,144  | 0,170  | 0,130  | 0,133  |
| Geschwindigkeit in der Wabe, u | m/s | 2,63   | 7,69   | 7,98   | 7,71   | 7,41   | 6,98   | 6,94   |
| $C_x/C_o^*$                    | -   | 0,006  | 0,027  | 0,036  | 0,075  | 0,030  | 0,176  | 0,143  |
| $\ln (C_x/C_o)^*$              | -   | -5,068 | -3,620 | -3,329 | -2,985 | -3,519 | -1,735 | -1,946 |

|                               |                        |       |       |       |       |       |       |       |
|-------------------------------|------------------------|-------|-------|-------|-------|-------|-------|-------|
| Diffusionskoeffizienten $D_T$ | $\text{cm}^2/\text{s}$ | 0,152 | 0,140 | 0,153 | 0,129 | 0,161 | 0,147 | 0,152 |
|-------------------------------|------------------------|-------|-------|-------|-------|-------|-------|-------|

## Dimensionslose Kennzahlen

|                                |   |       |       |       |       |       |       |       |
|--------------------------------|---|-------|-------|-------|-------|-------|-------|-------|
| Dimensionslose Länge, $\delta$ | - | 0,427 | 0,262 | 0,277 | 0,242 | 0,314 | 0,170 | 0,176 |
| A                              | - | 2,964 | 3,451 | 3,005 | 2,671 | 2,804 | 2,555 | 2,761 |

\* TCDD-Äquivalente nach NATO/CCMS

## Patentansprüche

1. Metalle und/oder Oxide enthaltende Katalysatorelemente mit kanalförmigen Durchgangsöffnungen für den oxidativen Abbau von cyclischen organischen Verbindungen in Abgasen von Verbrennungsanlagen,



dadurch gekennzeichnet, daß die Abmessungen der Katalysatorelemente der folgenden Gleichung (1) gehorchen:

$$\frac{x}{d^2} = \frac{1}{A} \cdot \frac{\bar{u}}{4 D_T} \cdot \ln \frac{C_o}{C_x} \quad (1)$$

worin bedeuten

- x = Länge des Katalysatorelements
- d = hydraulischer Durchmesser der Durchgangsöffnung für n-Eck-förmige Durchgangsöffnungen oder doppelter Plattenabstand für plattenförmige Katalysatorelemente
- $\bar{u}$  = mittlere Gasgeschwindigkeit des Abgases
- $D_T$  = temperaturabhängiger Diffusionskoeffizient des Schadstoffes im Abgas
- $C_o$  = Eingangskonzentration des Schadstoffes
- $C_x$  = Konzentration des Schadstoffes nach der Länge x

und der Parameter A in Abhängigkeit von der Form der kanalförmigen Durchgangsöffnung folgende Werte aufweist:

| Form                        | A       |
|-----------------------------|---------|
| n-Eck (n = 3 bis $\infty$ ) | 1,2-4,4 |
| Platten                     | < 8,3   |

2. Katalysatorelemente nach Anspruch 1, dadurch gekennzeichnet, daß der Parameter A in Abhängigkeit von der Form der kanalförmigen Durchgangsöffnung folgende Werte aufweist:

| Form    | A       |
|---------|---------|
| 4-Eck   | 2,2-3,8 |
| 6-Eck   | 2,5-4,2 |
| Platten | < 8,0   |

3. Katalysatorelement nach Anspruch 1, dadurch gekennzeichnet, daß die oxidischen Bestandteile der Katalysatormasse 0,01-1,0 Gew.-% oder bevorzugt kein Vanadiumoxid enthalten und im übrigen aus folgenden Komponenten bestehen:

|                                |              |
|--------------------------------|--------------|
| Titandioxid                    | 50-90 Gew.-% |
| Wolfram- und/oder Molybdänoxid | 2-15 Gew.-%  |
| Füllstoffe                     | 1-40 Gew.-%  |

4. Verfahren zum oxidativen Abbau von cyclischen organischen Verbindungen in Abgasen von Verbrennungsanlagen, das im Temperaturbereich von 100 °C bis 500 °C unter Verwendung eines Katalysatorelements durchgeführt wird, dadurch gekennzeichnet, daß der Umsatz an Schadstoffen, die Verweilzeit des Abgases im Katalysatorelement und die Abmessungen des Katalysators der folgenden Gleichung (2) gehorchen:

$$\frac{-\ln (1-U)}{\tau} = 4 D_T \cdot \frac{A}{d^2} \quad (2)$$

worin bedeuten

$U$  = Umsatz an Schadstoffen

$\tau$  = Verweilzeit

$D_T$  = temperaturabhängiger Diffusionskoeffizient des Schadstoffes im Abgas

$d$  = hydraulischer Durchmesser der Durchgangsöffnung für n-Eck-förmige Durchgangsöffnungen oder doppelter Plattenabstand für plattenförmige Katalysatorelemente

und der Parameter A in Abhängigkeit von der Form der kanalförmigen Durchgangsöffnung folgende Werte aufweist:

| Form                                      | A                |
|---|------------------|
| n-Eck ( $n = 3$ bis $\infty$ )<br>Platten | 1,2-4,4<br>< 8,3 |

5. Verfahren nach Anspruch 4, dadurch gekennzeichnet, daß der Parameter A in Abhängigkeit von der Form der Kanalförmigen Durchgangsöffnung folgende Werte aufweist:

| Form    | A       |
|---------|---------|
| 4-Eck   | 2,2-3,8 |
| 6-Eck   | 2,5-4,2 |
| Platten | < 8,0   |

6. Verfahren nach Anspruch 4, dadurch gekennzeichnet, daß es in zwei aufeinanderfolgenden Schritten bei verschiedenen Temperaturen durchgeführt wird, wobei im ersten Schritt bei tiefer Temperatur vorwiegend absorbiert und im zweiten Schritt bei gegenüber dem ersten Schritt erhöhter Temperatur die Schadstoffe oxidativ abgebaut werden.

7. Verfahren nach Anspruch 6, dadurch gekennzeichnet, daß im ersten Schritt bei 100 °C-250 °C vorwiegend absorbiert und im zweiten Schritt bei 300 °C-550 °C oxidativ abgebaut wird.

FIG.1

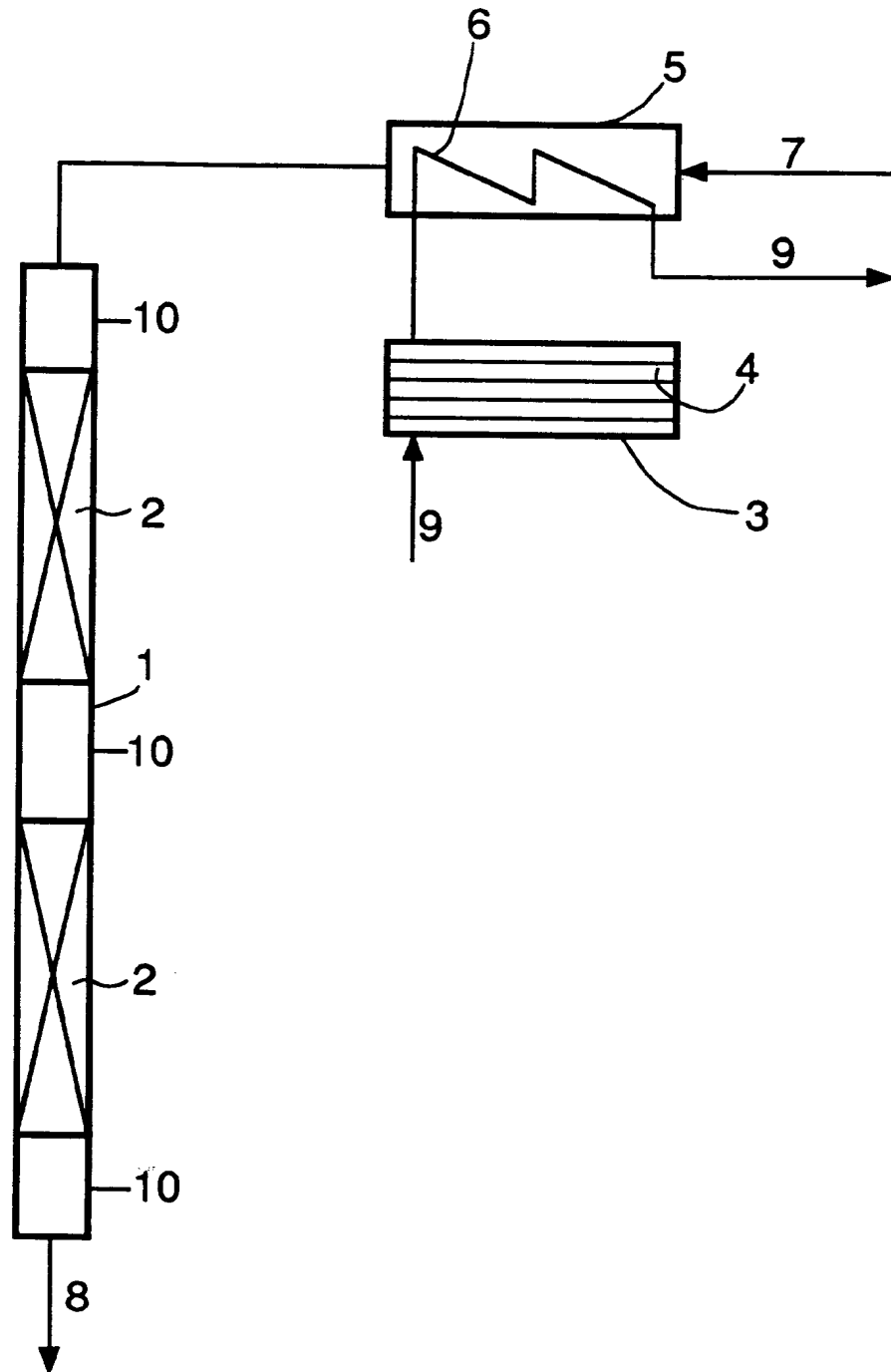


FIG.2

